

## بررسی کارایی پروفایل بیانی ژن‌های FHL1، PCSK2، PLAB و CCND2 در افتقاک تومورهای کارسینوم پاپیلاری تیروئید از تومورهای خوش‌خیم

جواد محمدی اصل<sup>۱\*</sup>، غلامعباس دیناروند<sup>۲</sup>، ندا گلچین<sup>۳</sup>، نادر صاکی<sup>۴</sup>،  
نسترن رنجبری<sup>۵</sup>، ایران رسیدی<sup>۶</sup>

### چکیده

زمینه و هدف: نمونه‌برداری سوزنی (FNA) بهترین روش برای تشخیص قبل از جراحی تومورهای تیروئید است که به طور گسترده برای بیماران انجام می‌شود، اما متأسفانه برای حدود ۲۰٪ موارد، جواب به صورت مشکوک و یا حد واسط گزارش می‌شود. همچنین با توجه به جواب‌های مثبت و منفی کاذب که گزارش می‌شوند، نیاز به وجود بیومارکر احساس می‌شود تا صحت آزمایش تشخیص قبل از جراحی را بهبود بخشد. هدف از این تحقیق بررسی بیان نسبی mRNA ژن‌های FHL1، PCSK2، PLAB و CCND2 در افتقاک تومور خوش‌خیم و تومور بدخیم از نوع پاپیلاری تیروئید کارسینوما می‌باشد.

روش بررسی: ۵۰ نمونه از بیماران با تومورهای بدخیم تیروئید (۲۵ نمونه) و تومورهای خوش‌خیم تیروئید (۲۵ نمونه) از بین کل بیماران مراجعه‌کننده به این تحقیق وارد شدند، برای استخراج RNA از نمونه‌های پارافینه شده و همچنین برای ساخت cDNA از کیت استفاده شد. واکنش Real Time PCR در حجم ۲۰ میکرولیتر انجام گرفت و از مخلوط واکنش حاوی ماده فلورسانس سایبر گرین استفاده شد.

یافته‌ها: نتایج نشان داد که بیان نسبی mRNA سه ژن PLAB، CCND2 و PCSK2 کارآیی خوبی برای افتقاک نداشتند، اما بررسی بیان نسبی mRNA ژن FHL1 توانست ۲۱ مورد بدخیم را افتقاک دهد، اگرچه تعداد ۴ مورد هم به صورت مثبت کاذب تشخیص داده شدند.

نتیجه‌گیری: بررسی بیان نسبی RNA ژن FHL1 نسبت به سایر ژن‌های مورد بررسی جهت افتقاک تومورهای پاپیلاری تیروئید کارسینوما از خوش‌خیم کارآیی بیشتری دارد.

کلید واژگان: بیومارکر، بیان نسبی mRNA، پاپیلاری تیروئید کارسینوما، ژن FHL1

- ۱- استادیار ژنتیک پزشکی
- ۲- کارشناس ارشد بیوشیمی بالینی
- ۳- کارشناس ارشد بیوشیمی
- ۴- دانشیار گوش، حلق و بینی
- ۵- استادیار پاتولوژی
- ۶- دانشیار پاتولوژی
- ۷- مرکز تحقیقات سرطان، دانشگاه علوم پزشکی جندی‌شاپور اهواز، اهواز، ایران.
- ۸- آزمایشگاه ژنتیک پزشکی نور، اهواز، ایران.
- ۹- گروه پاتولوژی، دانشکده پزشکی، دانشگاه علوم پزشکی جندی‌شاپور اهواز، اهواز، ایران.

\*نویسنده مسؤول:

جواد محمدی اصل؛ مرکز تحقیقات سرطان، دانشگاه علوم پزشکی جندی‌شاپور اهواز، اهواز، ایران.

تلفن: ۰۰۹۸۹۱۶۳۰۶۰۲۴۳

Email:  
mohammadiasl@gmail.com

## مقدمه

توجه به دلایل فوق الذکر که چون با انجام FNA نمی-توان تمام سرطان‌های تیروئید را شناسایی کرد و همچنین به دلیل وجود موارد منفی کاذب که گزارش می‌شوند، نیاز به وجود آزمایش‌های مولکولی بر اساس بررسی نشانگرهای زیستی مناسب احساس می‌شود تا به وسیله آنها بتوان صحت آزمایش‌های تشخیص سرطان تیروئید را در قبل از عمل، بهبود بخشد (۶). این میدان فعال در مطالعات سرطان‌شناسی است تا انجام جراحی‌های غیر ضروری را در این دسته از بیماران کاهش دهد (۸). تاکنون هیچ نشان زیستی منفردی که بتواند تمام تومورهای خوش‌خیم را از بدخیم افتراق دهد، شناخته نشده است و به همین دلیل از ترکیب‌های انواع مختلف نشانگرهای زیستی استفاده می‌شود تا بهترین نتایج به دست آید (۱۰). مطالعات گسترده در بررسی میزان بیان mRNA در ژن‌های مختلف در انواع سرطان‌ها منجر به شکل‌گیری این ایده شده است که از تفاوت بیان ژن‌ها در سطح mRNA به عنوان نشان زیستی جدید مولکولی برای افتراق سلول‌های سرطانی استفاده شود. در مطالعه‌ای که در سال ۲۰۰۴ انجام شد، از نحوه بیان ۴ ژن برای ارتقای تشخیص تومورهای فولیکولار کارسینومای تیروئید استفاده شده بود و نتایج رضایت‌بخش بودند (۱۱).

ژن      Proprotein      Convertase

Subtilisin/Kexin type 2) PCSK2      PC2      ۲۰p11.2 قرار دارد کروموزوم شماره ۲۰ و در موقعیت ۱۲ اگزون تشکیل شده است. این پروتئین یک کانورتاز پیش‌پروتئین است و همچنین یک آنزیم فعال کننده پیش‌انسولین است که نقش مهمی را در کنترل بیوسنتر انسولین به عهده دارد. همچنین این پروتئین در فعال کردن چندین هورمون نقش دارد و پیش‌هورمون‌ها را به فرم فعال تبدیل می‌کند.

سرطان‌های غده تیروئید ۹۰٪ سرطان‌های سیستم اندوکرین را شامل می‌شوند و مسئول ۶۳٪ از مرگ‌های ناشی از وقوع سرطان در سیستم اندوکرین می‌باشد (۱). گزارش شده است که نیمی از جمعیت عمومی افراد بالغ در سطح زیر بالینی (Subclinical) دارای ندول تیروئید هستند (۲) و چون فقط ۱۰٪ از این ندولها واقعاً بدخیم خواهند بود به همین دلیل آزمایش‌های قبل از عمل جراحی برای افتراق خوش‌خیم و یا بدخیم بودن آنها تکامل یافته است (۳). بقای ۱۰ ساله سرطان تیروئید در افراد بالغ میان سال ۸۰ تا ۹۶٪ است. عود مجدد در ۵ تا ۲۰٪ از موارد پاپیلاری تیروئید کارسینوما دیده می‌شود. عود مجدد ممکن است که ناشی از درمان ناقص اولیه و یا به دلیل وجود تومور با سلول‌های خیلی مهاجم باشد (۴). متاستاز دور دست معمولاً در ۱۰ تا ۱۵ درصد موارد پاپیلاری تیروئید کارسینوما رخ می‌دهد و میزان بقای ۱۰ ساله بعد از کشف متاستاز دور دست حدود ۴۰٪ است (۴).

(Fine Needle Aspiration) نمونه‌برداری سوزنی بهترین روش برای تشخیص قبل از عمل تومورهای بدخیم تیروئید است که به طور گسترده برای بیماران انجام می‌شود، اما متأسفانه برای حدود ۲۰٪ از موارد (محدوده بین ۹/۲ تا ۴۲٪) جواب قطعی گزارش نمی‌شود و به صورت مشکوک و یا حد واسط گزارش می‌شوند (۷-۵). ریسک بدخیمی در نمونه‌های FNA که مشکوک به سرطان بین ۱۰ تا ۴۰٪ گزارش می‌شوند، لذا تمام بیماران نیازمند برداشت ندول مشکوک خواهند بود تا جواب دقیقترا با بررسی نمونه‌های بیوپسی پاتولوژی مشخص شود و فقط در حدود ۲۰٪ از این نمونه‌های مشکوک دارای نئوپلاسم بدخیم خواهند بود (۶). از طرف دیگر در ۱۰٪ از موارد FNA جواب‌های منفی کاذب گزارش می‌شود که منجر به تشخیص دیر هنگام سرطان و در نتیجه، درمان دیر هنگام می‌شود و این امر بر روی سیر بیماری تأثیر منفی می‌گذارد (۶). بنابراین با

تکامل و آپیتوز سلولی است. ۳ عضو این خانواده، پروتئین‌هایی به نام *FHL2* و *FHL3*، *FHL1* را کد می‌کنند که با Smad2 و Smad3 اتصال فیزیکی و عملکردی برقرار می‌کنند. اما نقش دقیق این ژن در تکامل سرطان هنوز مشخص نشده است (۱۳).

با توجه به کاستی‌هایی که نمونه‌برداری سوزنی در تشخیص تومورهای بدخیم تیرویید دارد، نیاز به نشانگرهای زیستی که بتوانند تومورهای بدخیم تیرویید را از خوش‌خیم افتراق دهنده، احساس می‌شود. این نشانگرهای زیستی که بر اساس اختلالات ایجاد شده در *mRNA* مادهٔ ژنتیکی استوار هستند، چون با مقادیر کم قابل انجام هستند، به طور بالقوه دارای کاربردهایی بالینی خواهند بود. لذا تصمیم گرفته شد تا نشانگرهای زیستی متعدد بیان *mRNA* بر روی بیوپسی‌های تومورهای پاپیلاری تیرویید کارسینوما انجام شود تا کارآیی آنها در افتراق از تومورهای خوش‌خیم ارزیابی گردد تا در صورت موافقیت‌آمیز بودن، در تحقیقات بعدی کارآیی آنها در نمونه‌برداری‌های سوزنی سنجیده شود و با این کار بتوان به تشخیص دقیق‌تر نمونه‌برداری‌های سوزنی کمک کرد و از انجام عمل‌های تیروییدکتومی غیر ضروری کاست. هدف از انجام این مطالعه، تعیین تغییرات بیان *CyclinD2*, *PLAB*, *PCSK2* *mRNA* در ژنهای *FHL1* در تومورهای پاپیلاری تیرویید کارسینوما به عنوان تومور مارکر مناسب تشخیص افتراقی بین تومورهای خوش‌خیم و بدخیم تیرویید است.

### روش بررسی

#### ۱- انتخاب بیماران

۵۰ نمونه از بیماران مراجعه‌کننده طی سال ۱۳۹۱ به مرکز درمانی امام خمینی شهر اهواز با تومورهای بدخیم تیرویید (۲۵ نمونه) و تومورهای خوش‌خیم تیرویید (۲۵ نمونه) که نمونه‌های پاتولوژیکی آنها با قاطعیت قابل تشخیص بود از بین کل بیماران مراجعه‌کننده به این تحقیق وارد شدند. لازم به ذکر است که بر اساس

ژن ***Cyclin D2***: این ژن در کروموزوم شماره ۱۲ و در محل ۱۲p13 قرار دارد و دارای ۵ اگزون است و کد کنندهٔ سیکلین D2 است. انواع سیکلین کترول کنندهٔ کینازهای CDK هستند که مراحل مختلف چرخهٔ سلولی را با بیان و تجزیه شدن خود کترول می‌کنند. انواع مختلفی از سیکلین وجود دارند و سیکلین D2 با کیناز CDK4، CDK6 وارد عمل می‌شود و در کترول چرخهٔ سلولی در مرحلهٔ گذر از G1 به S، عمل خود را انجام می‌دهد. بیان بالای این ژن در تومورهای تخمدا و بیضه مشاهده شده است.

(Placental bone morphogenesis ژن ***GDF15***: نام‌های دیگر این ژن *MIC-1* یا ۱۹p13.2 در محل در شماره ۱۹ کروموزوم بر روی دهندهٔ فاکتور رشد بتا می‌باشد و تکامل بافتی را مدیریت می‌کند. این ژن بر روی کروموزوم شماره ۱۹ در محل ۱۹p13.2 قرار دارد و از دو اگزون تشکیل شده است که به وسیلهٔ یک ایترنون ۳ کیلو بازی از هم‌دیگر جدا شده‌اند (۱۲). ژن *PLAB* یک پروتئین را کد می‌کند که بخشی از خانواده TGF-b است و نشان داده شده است که از آپیتوز از طریق مسیر پیام‌رسانی AKT جلوگیری می‌کند. اهمیت فعلی‌سازی مسیر سیگنالی AKT در سرطان‌زایی فولیکولار تیرویید کارسینوما قبلًا به اثبات رسیده است (۵). بررسی بیان *PLAB mRNA* ژن *CCND2* و *PCSK2* با کمک ژن دیگر به نام‌های *CyclinD2* و *PLAB* به عنوان نشانگرهای زیستی در افتراق تومورهای تیرویید نشان داده بود که توانایی خوبی در افتراق تومورهای تیرویید از نوع فولیکولار را دارد (۳).

#### ژن ***FHL1*** (Four and a half LIM domains)

۱: این ژن بر روی کروموزوم X و در محل Xq26 قرار دارد و شمارهٔ شناسایی (GeneID) آن ۲۲۷۳ و از ۷ اگزون تشکیل شده است. محصول آن از رشد سلول‌های سرطانی از طریق مسیر پیام‌رسانی مشابه با TGFb جلوگیری می‌کند. این ژن کترول کنندهٔ پرولیفراسیون،

از آن نمونه‌ها بر روی یخ گذاشته شدند. به محلول ۴ میکرولیتر آنزیم RT و ۱ میکرولیتر پرایمر و ۴ میکرولیتر بافر ۵X اضافه شد و با کمک دستگاه ترموسیکلر تیوبها به مدت ۳۰ دقیقه در دمای ۴۲ درجه و ۵ دقیقه در دمای ۹۰ درجه انکوبه شدند. سپس مقدار ۲۰ میکرولیتر آب به cDNAها اضافه شد و تا زمان استفاده، در فریزر  $-80^{\circ}\text{C}$  - باقیگرانی شدند.

#### ۴- آزمایش Real Time PCR

واکنش Real Time PCR در حجم ۲۰ میکرولیتر و به صورت دوپلیکیت انجام گرفت. از مخلوط واکنش Real Time PCR که دارای ماده فلورسانس سایر SYBR گرین و محصول شرکت TAKARA به نام  $\text{Premix Ex Taq}^{\text{TM}}$  استفاده شد، زیرا نسبت به مخلوط واکنشی رنگ EvaGreen جواب‌های بهتری به دست آمده بود.

در هر تیوب واکنش، مواد با مقادیر زیر اضافه شد:

1-PreMix 2X	10 $\mu\text{l}$
2-primer 2mM each	1 $\mu\text{l}$
3-D.W	7 $\mu\text{l}$
4-cDNA	2 $\mu\text{l}$

واکنش‌های Real Time PCR هم با دستگاه مارک CORBET به نام Rotor-Gene 6000 انجام شد. چرخه دمایی به صورت ۱۰ ثانیه ۹۵ درجه، سپس ۴۵ سیکل شامل ۵ ثانیه ۹۵ درجه، ۱۵ ثانیه ۶۰ درجه و ۱۰ ثانیه ۷۲ درجه بود. در انتهای هر سیکل در دمای ۷۲ درجه، نورسنجدی با نور سبز و طول موج تابش ۴۷۰ و بازتاب ۵۱۰ نانومتر انجام می‌گرفت. سپس منحنی ذوب از دمای ۶۵ تا ۹۵ درجه محاسبه می‌شد.

#### ۵- بررسی بیان نسبی mRNA چهار ژن CCND2 و FHL1 و PLAB و PCSK2

برای بررسی بیان چهار ژن *CCND2*, *PLAB*, *FHL1* و *PCSK2* با تکنیک Real Time PCR با پرایمرهایی استفاده شد که با کمک سایت ایترنتی Primer3 طراحی شده بودند. پرایمروها طراحی شدند که هر کدام در اگزون جدأگانه‌ای قرار بگیرند تا از

تشخیص پاتولوژیست قبلی و با تأیید پاتولوژیست‌های همکار طرح لام‌ها با تشخیص قطعی به مطالعه وارد شدند و تمام لام‌هایی که تشخیصی قطعی نداشتند، از مطالعه خارج شدند. بلوک‌های پارافینی بعد از بازبینی مجدد توسط یک پاتولوژیست، مناسب‌ترین آنها انتخاب شدند. سه نمونه که در گزارش پاتولوژی هیچ ضایعه خوش‌خیم یا بدخیم گزارش نشده بود، به عنوان بافت نرمال انتخاب شدند.

#### ۲- مایکرو دایسکشن

برای انجام مایکرو دایسکشن در ابتدا به وسیله میکروتوم برش‌های ۶ میکرونی از بلوک‌های پارافینی داده شد. سپس این برش‌ها در یک محیط عاری از RNase بر روی لام‌های مخصوص مایکرو دایسکشن گذاشته شدند. این لامها دارای یک لایه نازک فیلم بوده و قبل از استفاده، مقدار ۱۰ میکرولیتر محلول پلی‌الاکریلیک (PAA) روی آنها گذاشته شده بود تا بافت‌ها بهتر به لایه فیلم بچسبند. از هر بلوک دو عدد لام برای استخراج RNA در نظر گرفته شدند و یک لام هم با رنگ هماتوکسیلین اثوزین (Sigma) رنگ‌آمیزی شد تا در زمان مایکرو دایسکشن به عنوان راهنمای شناسایی محدوده سلول‌ها استفاده شود. لام‌های مخصوص برای استخراج RNA در فریزر  $-80^{\circ}\text{C}$  - نگهداری شدند.

#### ۳- استخراج RNA از نمونه‌های پارافینی و ساخت cDNA

برای استخراج RNA از نمونه‌های مایکرو دایسکت شده از کیت شرکت Roche به نام High Pure RNA Paraffin Kit ساخت cDNA از کیت شرکت Qiagen به نام QuantiTech RT سازنده استفاده شد. برای ساخت cDNA از ۱ میکروگرم RNA به عنوان الگو استفاده شد. در مرحله ۲ RNA اول در تیوبهای مخصوص PCR به نمونه‌های *gDNA eliminator* میکرولیتر اضافه شده و به مدت ۲ دقیقه در دمای ۴۲ درجه سانتی‌گراد انکوبه شدند و بعد

میزان تعدل شده بیان mRNA بر حسب درصد با استفاده از فرمول زیر محاسبه گردید (۵):

$$=[ 2^{-(Ct\text{ of gene of interest} - Ct\text{ of GAPDH})} \times 100\% ]$$

بیان نسبی mRNA (درصد)

#### ۶- محاسبات آماری

برای انجام محاسبات آماری از نسخه ۱۶ نرمافزار SPSS استفاده شد. برای مقایسه بیان ژن‌های یادشده در دو گروه خوش خیم و بد خیم از آزمون t استفاده شد. در تمامی آزمون‌های استفاده شده ارزش p برابر ۰/۰۵ ملایع عمل قرار گرفت.

تکثیر DNA ژنومیک جلوگیری شود. طول محصول PCR کمتر از ۸۰ جفت باز طراحی گردید تا برای تکثیر نمونه‌های پارافینی مشکلی ایجاد نگردد. از ژن GAPDH به عنوان کنترل استفاده شد. ردیف بازی پرایمرها و طول قطعه تکثیر شده در جدول ۱ ارائه شده است. بعد از انجام موفقیت‌آمیز PCR‌ها، مقدار threshold Ct است محاسبه شد. این کار با استفاده از منحنی‌های تکثیر PCR که توسط دستگاه Real Time PCR تهیه می‌شود و نرمافزار دستگاه CORBET انجام شد. برای هر ژن

جدول ۱: ردیف بازی پرایمرها و طول محصول PCR در آزمایش بررسی بیان نسبی mRNA

نام ژن	ردیف بازی پرایمر	طول قطعه (bp)
CCND2	F: GCTGGCTAAGATCACCAACACA R : CCTCAATCTGCTCCTGGCAA	62
PLAB	F: CTGCAGTCCGGATACTCACG R : AGAGATACGCAGGTGCAGGT	68
FHL1	F: GCCAACACCTGTGTGGAAT R: GCCAGAACGGTTCTTATAGTG	76
PCSK2	F: CAGAACACGGCTTGGAGTC R: TGCAAGGCCATTGTGATAAA	74
GAPDH	F : ATGGGGAAGGTGAAGGTG R: GTTAAAAGCAGCCCTGGTGA	72

## یافته‌ها

### بررسی بیان نسبی mRNA در ژن PCSK2

نتایج بررسی بیان نسبی mRNA ژن PCSK2 در دو گروه خوش خیم و بدخیم در شکل ۱ ارائه شده است. اگرچه بیان ژن PCSK2 در گروه بدخیم مقداری پایین‌تر بود ( $4/۱۹\%$  در مقایسه با  $۵/۰۷\%$ ) اما تفاوت بیان نسبی ژن PCSK2 mRNA بین دو گروه خوش خیم و بدخیم از نظر آماری معنادار نبود ( $p=0/۷۳$ ).

### بررسی بیان نسبی mRNA ژن FHL1

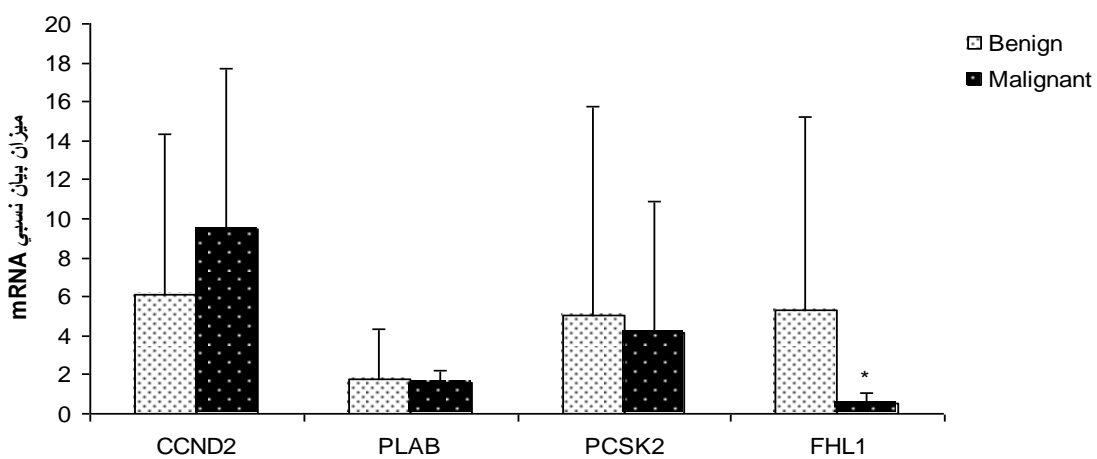
نتایج بررسی بیان نسبی mRNA ژن FHL1 در دو گروه خوش خیم و بدخیم در شکل ۱ ارائه شده است. بیان نسبی mRNA ژن FHL1 در گروه بدخیم برابر  $۰/۵۰\%$  بود در حالی که در گروه خوش خیم این میزان خیلی بالاتر بود ( $۵/۲۹\%$ ) و تفاوت بین این دو گروه معنادار بود ( $p=0/۰۱۹$ ).

### بررسی بیان نسبی mRNA در ژن CCND2

نتایج بررسی بیان نسبی mRNA ژن CCND2 در دو گروه خوش خیم و بدخیم در شکل ۱ ارائه شده و مشخص شد که در گروه تومورهای بدخیم میزان بیان نسبی mRNA بالاتر از گروه تومورهای خوش خیم بود ( $۶/۰۳\%$  در مقایسه با  $۶/۰۷\%$ ). اگرچه بیان ژن CCND2 گروه بدخیم مقداری بالاتر بود، اما این تفاوت از نظر آماری معنادار نبود ( $p=0/۱۶$ ).

### بررسی بیان نسبی mRNA در ژن PLAB

نتایج بررسی بیان نسبی mRNA ژن PLAB در دو گروه خوش خیم و بدخیم در شکل ۱ ارائه شده و مشخص شد که در گروه تومورهای بدخیم میزان بیان نسبی mRNA به مقدار ناچیزی پایین‌تر از گروه تومورهای خوش خیم بود ( $۱/۸۳\%$  در مقایسه با  $۱/۵۹\%$ ). اما این تفاوت از نظر آماری معنادار نبود ( $p=0/۶۵$ ).



شکل ۱: نمودار میله‌ای نشان‌دهنده میانگین بیان نسبی mRNA ژن‌های CCND2، PLAB، PCSK2 و FHL1 در تومورهای خوش خیم و بدخیم تیرویید نسبت به ژن GAPDH

## بحث

**kinase/ERK**) دخالت دارد (۱۴). بنابراین وجود تفاوت بیان mRNA این سه ژن در دو نوع توموری که از نظر مسیر پیامرسانی کاملاً متفاوت هستند، دور از انتظار نیست.

نتایج پژوهش حاضر با شبیرو که گزارش کرده بود با بررسی بیان نسبی mRNA این سه ژن امکان افتراق تومورهای خوشخیم از بدخیم تیرویید وجود ندارند، هم خوانی دارد و تأییدکننده نتایج آنهاست.

اگرچه ترکیب سه ژن *CSK2*, *PLAB* و *CCND2* به عنوان ژن‌های نامزد که در تومورهای تیرویید قابل هستند، به عنوان نشان زیستی معرفی شده‌اند، ولی تحقیق حاضر نشان داد که بررسی بیان mRNA این سه ژن برای افتراق تومورهای پاپیلاری تیرویید کارسینوما از خوشخیم تیرویید کارآیی ندارند.

در تحقیق حاضر مشخص شد که بیان نسبی mRNA ژن *FHL1* در تومورهای بدخیم خیلی کمتر از خوشخیم بود و این تفاوت در سطح  $p=0.019$  معنادار بود به طوری که شاید بتواند به عنوان یک نشان زیستی برای افتراق تومورهای بدخیم از خوشخیم تیرویید قابل استفاده شود. این نتیجه تأییدکننده گزارش فرایکناس (Fryknas) و همکارانش است. در مطالعه آنها برای شناسایی نشانگرهای زیستی جدید برای افتراق تومورهای بدخیم از خوشخیم فولیکولار تیرویید که با روش میکروآرری انجام داده بودند، چندین ژن را معرفی کرده بودند و بهترین این ژنهای *FHL1* معرفی شده بود که بیان mRNA آن در تومورهای بدخیم فولیکولار تیرویید نسبت به خوشخیم کاهش می‌یافتد (۱۵).

### نتیجه‌گیری

مطالعه فرایکناس و همکارانش تنها مطالعه‌ای بود که بر روی تیرویید انجام شده بود. اما چندین مطالعه دیگر بر روی انواع مختلف سرطان‌ها از جمله: پروستات، کلیه، پستان (۱۶)، معده (۱۷) و کبد (۱۳) نشان داده‌اند که در

بررسی بیان این سه ژن در تومورهای تیرویید در دو مطالعه جداگانه بررسی شده است. در مطالعه اول که در سال ۲۰۰۵ نتایج آن گزارش شده است با بررسی بر روی تومورهای تیرویید از جنس فولیکولار (FA و FTC) به این نتیجه رسیدند که بیان این سه ژن در دو گروه تومورهای FA و FTC با هم خیلی تفاوت دارند. به طوری که در FTC نسبت به FA ژنهای *CCND2*, *PCSK2* و *PLAB* ۱۰/۲ برابر کاهش، *FA* با ۵/۵ برابر افزایش و ۲۶۳ همیگر امکان افتراق تومورهای FTC از FA را در بیشتر موارد فراهم آورده بود. افتراق تومورهای FA از FA با بررسی هیستوپاتولوژی مقداری مشکل است و با کمک این بررسی مولکولی، امکان افتراق آنها بهتر می‌شد (۳).

در مطالعه بعدی در سال ۲۰۰۸ توسط شبیرو (Shibru) و همکارانش با بررسی بیان نسبی mRNA این سه ژن بر روی ۱۲۳ نمونه بدخیم (من جمله ۵۴ نمونه PTC) و ۱۳۸ نمونه خوشخیم به این نتیجه رسیدند که بیان نسبی mRNA سه ژن *CCND2*, *PLAB* و *PCSK2* در تومورهای بدخیم نسبت به گروه خوشخیم تفاوت معنی داری دارد اما برای افتراق مناسب نبود (۵).

نتایج پژوهش حاضر هم نشان داد که بیان این سه ژن در گروه بدخیم با گروه خوشخیم تفاوت معناداری ندارد که با نتایج مطالعه شبیرو هم خوانی دارد. اما با نتایج مطالعه ویر (Weber) و همکارانش متناقض است. دلیل احتمالی تناقض بین نتایج ما با مطالعه ویر این است که بررسی آنها بر روی تومورهای از جنس FA و FTC بوده است که مسیر پیامرسانی متفاوتی عامل ایجاد آنهاست و با مسیر پیامرسانی تومورهای PTC کاملاً تفاوت دارد. در تومورهای FTC مسیر پیامرسانی PI3K/Akt و برای تومورهای PTC مسیر پیامرسانی Ras→Raf→MEK→MAP Kinase

انجام تحقیقات جدید در راستای روشن شدن مکانیسم دقیق آن در روند تومورزایی می‌تواند به دانش مولکولی روند تشکیل سرطان و یا درمان احتمالی آن از طریق این ژن کمک کند. در دنیای تشخیص بدخیمی و خوش‌خیمی‌ها در تومورهای تیروئید، معرفی نشان زیستی از اهمیت خاصی برخوردار است، چون با کاربرد آنها در قبل از عمل جراحی و در کنار FNA می‌توان به افتراق بهتر تومورهای بدخیم از خوش‌خیم تیروئید کمک کرد و از فراوانی عمل‌های جراحی غیر ضروری کاست. نشانگرهای زیستی که به عنوان نامزد معرفی شده‌اند، زیاد هستند، اما کارآیی آنها هنوز به اثبات نرسیده است. بررسی بیان نسبی mRNA ژن *FHL1* نسبت به سایر ژن‌های مورد بررسی جهت افتراق تومورهای پاپیلاری تیروئید کارسینوما از خوش‌خیم کارآیی بیشتری دارد.

تمام این نوع سرطان‌ها بیان mRNA این ژن در تومورهای بدخیم نسبت به گروه خوش‌خیم و بافت طبیعی کاهش بیان دارد و به عنوان یک نشان زیستی خوب برای تشخیص بدخیمی‌ها معرفی شده بود.

محصول ژن *FHL1* از رشد سلول‌های سرطانی جلوگیری می‌کند، بنابراین با کاهش بیان، باعث افزایش رشد سلول‌ها می‌شود. اگرچه نقش دقیق آن در تکامل سلول‌های سرطانی هنوز مشخص نشده است (۱۳). اما به دلیل درگیری آن در انواع مختلفی از سرطان‌ها، دارای توانایی بالقوه‌ای است تا به عنوان یک نشان زیستی خوب برای افتراق سلول‌های سرطانی معرفی گردد. همان‌طور که در مطالعهٔ محمدی اصل و همکاران در سال ۲۰۱۴ گزارش شده است، بیان این ژن برای تشخیص افتراقی ندول‌های تیروئید حساسیت و ویژگی مناسب دارد (۱۸).

## منابع

- 1-Xing M, Haugen BR, Schlumberger M. Progress in molecular-based management of differentiated thyroid cancer. *Lancet* 2013 Mar; 23: 1058-69.
- 2-Schagdarsurengin U O, Gimm H, Dralle C, Hoang-Vu, Dammann R. CpG island methylation of tumor-related promoters occurs preferentially in undifferentiated carcinoma. *Thyroid* 2006;16: 633-42.
- 3-Weber F, Shen L, Aldred MA, Morrison CD, Frilling A, Saji M, 'et al'. Genetic classification of benign and malignant thyroid follicular neoplasia based on a three-gene combination. *J Clin Endocrinol Metab* 2005; 90: 2512-21.
- 4-Lee JH, Lee ES, Kim YS. Clinicopathologic significance of BRAF V600E mutation in papillary carcinomas of the thyroid: a meta-analysis. *Cancer* 2007;110: 38-46.
- 5-Shibru D J, Hwang E, Khanafshar QY, Duh OH, Clark, Kebebew E. Does the 3-gene diagnostic assay accurately distinguish benign from malignant thyroid neoplasms?. *Cancer* 2008; 113: 930-5.
- 6-Kebebew E, Peng M, Reiff E, Duh QY, Clark OH, McMillan A. Diagnostic and prognostic value of angiogenesis-modulating genes in malignant thyroid neoplasms. *Surgery* 2005; 138: 1102-9.
- 7-Hoque MO, Rosenbaum E, Westra WH, Xing M, Ladenson P, Zeiger MA,'et al'. Quantitative assessment of promoter methylation profiles in thyroid neoplasms. *J Clin Endocrinol Metab* 2005; 90: 4011-8.
- 8-Chung KW, Yang SK, Lee GK, Kim EY, Kwon S, Lee SH, 'et al'. Detection of BRAFV600E mutation on fine needle aspiration specimens of thyroid nodule refines cyto-pathology diagnosis, especially in BRAF600E mutation-prevalent area. *Clin Endocrinol (Oxf)* 2006; 65: 660-6.
- 9-Rowe LRM, Bentz BGM, Bentz JSM. Utility of BRAF V600E mutation detection in cytologically indeterminate thyroid nodules. *Cytology* 2006; 3: 10.
- 10-Asa SL. The role of immunohistochemical markers in the diagnosis of follicular-patterned lesions of the thyroid. *Endocr Pathol* 2005; 16: 295-309.
- 11-Cerutti JM, Delcelo R, Amadei MJ, Nakabashi C, Maciel RM, Peterson B, 'et al'. A preoperative diagnostic test that distinguishes benign from malignant thyroid carcinoma based on gene expression. *J Clin Invest* 2004; 113: 1234-42.
- 12-Nikiforova M, Durso MB, Kelly LM, Nikiforov YE. Testing for 740 Mutations in Thyroid Samples Using Targeted Next Generation Sequencing Approach. In: 82nd Annual Meeting of the American Thyroid Association; 2012 Sep 19-23 ; Quebec, Canada; 2012. p. A-79.
- 13-Song Q, Wang D, Lou Y, Li C, Fang C, He X, 'et al'. Diagnostic significance of CK19, TG, Ki67 and galectin-3 expression for papillary thyroid carcinoma in the northeastern region of China. *Diagn Pathol* 2011; 6: 126.

- 14-Xing M. Recent advances in molecular biology of thyroid cancer and their clinical implications. *Otolaryngol Clin North Am* 2008; 41: 1135-46.
- 15-Fryknas M, Wickenberg-Bolin U, Goransson H, Gustafsson MG, Foukakis T, Lee JJ, 'et al'. Molecular markers for discrimination of benign and malignant follicular thyroid tumors. *Tumour Biol* 2006; 27: 211-20.
- 16-Li X, Jia Z, Shen Y, Ichikawa H, Jarvik J, Nagele RG, 'et al'. Coordinate suppression of Sdpr and Fhl1 expression in tumors of the breast, kidney, and prostate. *Cancer Sci* 2008; 99: 1326-33.
- 17-Sakashita K, Mimori K, Tanaka F, Kamohara Y, Inoue H, Sawada T, 'et al'. Clinical significance of loss of Fhl1 expression in human gastric cancer. *Ann Surg Oncol* 2008; 15: 2293-300.
- 18-Mohammadi-Asl J, Dinarvand GhA, Golchin N, Saki N, Ranjbari N, Rashidi I. The Diagnostic Value of Gene Expression of FHL1 in the Differential Diagnosis of Papillary Thyroid Carcinoma and Benign Tumors. *J Isfahan Med Sch* 2014; 31(266): 1-9.

## Evaluation of CCND2, PLAB, PCSK2 and FHL1 Genes Expression Efficiency to Differentiate between Papillary Thyroid Carcinoma and Benign Tumors

Javad Mohammadi-Asl<sup>1\*</sup>, Gholamabbas Dinarvand<sup>2</sup>, Neda Golchin<sup>3</sup>, Nader Saki<sup>4</sup>, Nastran Ranjberi<sup>5</sup>, Iran Rashidi<sup>6</sup>

1-Assistant Professor of Medical Genetics.

2-M.Sc of Clinical Biochemistry

3-M.Sc of Biochemistry.

4-Associate Professor of ENT.

5-Assistant Professor of Pathology.

6-Associate Professor of Pathology.

1,2,4-Cancer Research Center,  
Ahvaz Jundishapur University of  
Medical Sciences, Ahvaz, Iran

3-Noor Medical Genetics  
Laboratory, Ahvaz, Iran.

5,6-Department of Pathology,  
School of Medicine, Ahvaz  
Jundishapur University of Medical  
Sciences, Ahvaz, Iran.

### Abstract

**Background and Objective:** Fine needle aspiration (FNA) is the best method for sample collection in diagnosis of thyroid tumors before surgery which is performed widely for patients, but unfortunately for about 20% of cases, the test result is reported as suspicious or intermediate. Also, due to false positive and negative responses, there is a pressing need for a biomarker to improve the accuracy of preoperative tests. The aim of this study was to evaluate the relative mRNA expression of genes *CCND2*, *PLAB*, *PCSK2* and *FHL1* in differentiating benign and malignant tumors of papillary thyroid carcinoma.

**Subjects and Methods:** Fifty samples from patients with malignant thyroid tumors (25 cases) and benign thyroid tumors (25 cases) were enrolled in this study, RNA was extracted from paraffin samples with High Pure RNA Paraffin Kit and RNA extracted was used for cDNA synthesis. Real Time PCR reactions were performed in duplicate consists of 20 µl of the reaction mixture containing the fluorescent cyber green.

**Results:** The relative mRNA expression of *CCND2*, *PLAB* and *PCSK2* genes were not efficient for diagnosis. However, the relative mRNA expression of *FHL1* gene could differentiate 21 malignant cases with 4 false positive results.

**Conclusions:** The relative mRNA expression of *FHL1* gene is more efficient to differentiate papillary thyroid carcinoma from benign tumors.

**Keywords:** Biomarkers, Relative Expression of mRNA, Papillary Thyroid Carcinoma, *FHL1* gene.

\*Corresponding author:

Javad Mohammadi-Asl; Cancer Research Center, Ahvaz Jundishapur University of Medical Sciences, Ahvaz, Iran.  
Tel: +989163060243  
Email: mohammadiasl@gmail.com

► Please cite this paper as:

Mohammadi-Asl J, Dinarvand GhA, Golchin N, Saki N, Ranjberi N, Rashidi I. Evaluation of Inferior Alveolar Canal position in Cross Sectional Cone Beam Computed Tomography Images. Jundishapur Sci Med J 2014;13(4):475-484

Received: June 18, 2013

Revised: Feb 23, 2014

Accepted: June 9, 2014